

Е 69
346

АКАДЕМИЯ НАУК СССР СИБИРСКОЕ ОТДЕЛЕНИЕ
ИНСТИТУТ ЯДЕРНОЙ ФИЗИКИ

препринт 273

С.Н.Родионов, Б.П.Санников

**ПРИМЕНЕНИЕ ТОНКИХ СЦИНТИЛЛЯТОРОВ
ДЛЯ РЕГИСТРАЦИИ ПОЗИТРОНОВ**

Новосибирск

1969

ПРИМЕНЕНИЕ ТОНКИХ СЦИНТИЛЛЯТОРОВ ДЛЯ РЕГИСТРАЦИИ ПОЗИТРОНОВ

С.Н.Родионов, Б.П.Санников

А Н Н О Т А Ц И Я

Измерена эффективность тонких плёнок из спиритуальной пластмассы по отношению к регистрации быстрых позитронов. Определены условия, при которых эффективность близка к 100 %.

В настоящей работе для регистрации быстрых позитронов тонкие плёнки не имеют решающего значения из-за их малого спиритуального действия. Решающим является то, что позитроны должны направляться в плоскость тонкой спиритуальной пленки, расположенной между источником и счетчиком /3/.

Для измерения эффективности тонких плёнок из спиритуальной пластмассы использовалась методика, предложенная в работе /3/. Для этого зору диаметром 10 мм, имеющую толщину 0,5 мкм, поместили на плоскую поверхность диаметром 20 мм (рис.). Внутре зоры помещали источник из гамма-излучения стронция-90. Края зоры огибала пленка из спиритуальной пластмассы толщиной 0,05 мкм, которая огибала зору с двух сторон. Сигналы от зоры и спиритуального счетчика подавались в блок обработки информации.

Сентябрь
1960

Журнал науки и техники

Экспериментальная методика при изучении взаимодействия позитронов с веществом включает в себя, как правило, регистрацию двух основных событий: рождение и аннигиляция позитрона и установление временной корреляции между этими событиями с помощью схем совпадений.

Обычно момент рождения позитрона при использовании источника Na^{22} фиксируется по регистрации γ -кванта с энергией 1,28Мэв, сопровождающего процесс β -распада и испускающегося практически одновременно с вылетом позитрона /1,2/.

Однако в ряде случаев, когда источник позитронов и исследуемое вещество пространственно разделены, этот метод может стать малоэффективным благодаря тому факту, что между направлениями вылета γ -кванта и позитрона нет угловой корреляции. В результате при работе со схемой совпадений загрузка канала "рождения" становится неоправданно большой, что накладывает ограничения на интенсивность источника и лимитирует рабочий счёт.

С другой стороны при такой постановке эксперимента существенным является не момент рождения позитрона, а факт его попадания в исследуемое вещество. Регистрацию позитронов, вылетающих из источника в нужном направлении можно осуществить с помощью тонкой спиритуационной пластиинки, располагаемой между источником и объектом исследования /3/.

Тонкие спиритуационные пластины изготавливались путем стачивания и полировки спиритуационной пластмассы. Без особых трудов удавалось получить пластиинки толщиной до 100 микрон при диаметре 10 мм. Эти пластиинки вставлялись в световод из оргстекла диаметром 30 мм (рис.1), внутри которого располагался радиоактивный источник. Для увеличения светосбора полированный торец световода имел сферическую форму. Оптический контакт между спиритуатором и световодом осуществлялся с помощью масла ВМ-1.

Измерение эффективности регистрации позитронов сцинтилляционной пластинкой проводилось на установке, блок-схема которой приведена на рис. 2.

Световод с источником Na^{22} (2) и сцинтилляционной пластинкой (3) вставлялся в вакуумную камеру диаметром 50 мм (4), откаченную до давления $\sim 10^{-5}$ тор. Позитроны аннигилировали на мишени (6), расположенной на расстоянии 60 см от источника. Для увеличения светосилы в камере создавалось продольное магнитное поле напряженностью до 600 эрстед. Световые вспышки в сцинтилляторе (3) регистрировались фотоумножителем (1). Аннигиляционные γ -кванты, как обычно, регистрировались сцинтилляционными счетчиками (9) и (10),ключенными в схему двойных совпадений с разрешающим временем $3 \cdot 10^{-9}$ сек и расположенными вне камеры друг против друга на одной прямой с мишенью.

Все фотоумножители экранировались от магнитного поля стальными кожухами (5). В работе использовались отобранные фотоумножители типа ФЭУ-30 и ФЭУ-36. Разрешающее время схем тройных и четверных совпадений составляло 10^{-7} сек., чтобы не учитывать пролетное время позитронов и время жизни ортопозитрона,ющего возникнуть в веществе.

На рис. 3 показана зависимость пропускающей способности сцинтиллятора (3) от его толщины.

На рис. 4 показана зависимость эффективности регистрации позитронов тонким сцинтиллятором (3) в зависимости от его толщины и напряжения на фотоумножителе (1). Эффективность определялась как отношение скорости счета тройных совпадений (1,9,10) к скорости счета двойных (9,10). Видно, что эффективность может достигать практически 100% при коэффициенте пропускания 20-30% и достаточно большом напряжении на фотоумножителе (1). При этом в канале (1) возрастает фон, связанный с шумами фотоумножителя. Энергетический эквивалент шумов не превышал 20 кэв. При контрольных экспериментах с экранированным источником было показано, что фон в канале (1) определяется практически только шумами фотоумножителя, а чувствительность сцинтиллятора (3) к γ -кантам мала. В рабочих условиях загрузка канала (1) несколько возрастала с увеличением толщины сцинтиллятора (3), что связано с увеличением яркости вспышек. Отношение

эффект/фон для канала (1) в зависимости от толщины сцинтиллятора показано на рис. 5. Типичными рабочими условиями являются: толщина сцинтиллятора - 0,6 мм; напряжение на фотоумножителе (1) (тип ФЭУ-36) - 1650 в; эффективность регистрации позитронов 100%; пропускающая способность сцинтиллятора - 10%; отношение фона к загрузке в канале (1) - менее 10^{-3} .

Мишень (6) представляла собой также тонкую пленку сцинтилляционной пластмассы, нанесенную на световод из оргстекла диаметром 30 мм (7), соединенный с фотоумножителем (8). Для ее приготовления на торец световода наносился раствор сцинтилляционной пластмассы в дихлорэтане. После высыхания на торце оказывалась ровная пленка, имеющая хороший световой контакт со световодом. Толщина пленки может быть доведена до 0,5 мм.

Применение сцинтиллятора в качестве аннигиляционной мишени позволяет осуществить грубую селекцию позитронов, попадающих на мишень, по энергиям. Будем называть "быстрыми" позитроны, давшие при замедлении в мишени достаточно яркую вспышку, способную быть зарегистрированной фотоумножителем (8). Скорость счета "быстрых" позитронов определяется тройными совпадениями (8,9,10). Порог чувствительности определяется шумами фотоумножителя и по имеющимся данным / 4 / может составлять несколько кэв. Специальных измерений по его определению не производилось. Можно надеяться, что наличие тройных совпадений (8,9,10) позволит выделить в канале (8) полезный сигнал, лежащий ниже уровня шумов.

Скорость счета "медленных" позитронов (т.е. имеющих энергию ниже порога чувствительности фотоумножителя) можно определять по совпадениям (8,9,10) - т.е. совпадениям в каналах (9,10) и антисовпадению в канале (8). Фоновыми событиями для этого процесса могут быть регистрация одного из аннигиляционных квантов в сцинтилляторе (имитация "быстрых" позитронов) или аннигиляция позитронов на стенке камеры вблизи одного из счетчиков. Эффективность регистрации γ -квантов тонкой сцинтилляционной мишенью практически ничтожно мала. Влияние аннигиляции на стенах может быть учтено при удалении мишени.

На рис. 6 приведена зависимость эффективности регистрации "быстрых" позитронов сцинтилляционной мишенью толщиной 0,5 мм от напряжения на фотоумножителе (8). Эффективность определялась как отношение скорости счета четверных совпадений (I,8,9,10) к скорости счета тройных (I,9,10). Видно, что в пределе эффективность, определенная таким образом, стремится к 80%. Однако контрольные эксперименты показали, что в районе мишени магнитное поле ослаблено, часть силовых линий выходит на стенки и скорость счета аннигиляций на стенках при удалении мишени составляет $\sim 20\%$ общей скорости счета.

Таким образом, реальная эффективность сцинтилляционной мишени к "быстрым" позитронам близка к единице, поскольку по условиям опыта количество "медленных" позитронов мало.

В заключении авторы выражают благодарность М.С.Золотареву, И.Б.Вассерману, Е.П.Солодову и В.Н.Рудюку за помощь в проведении экспериментов.

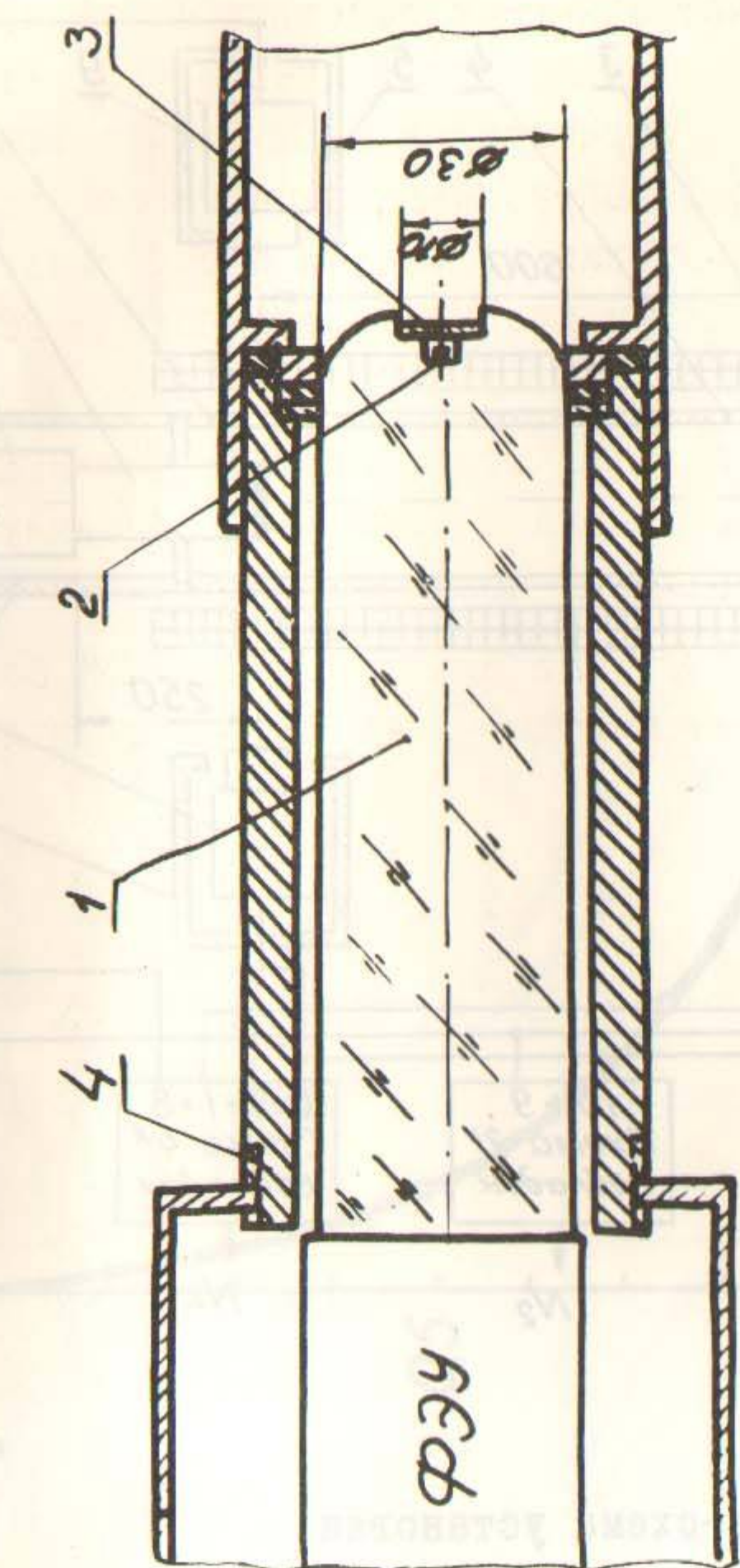


Рис. I.
1-световод; 2-радиоактивный источник;
3-цинтилляционная пленка;
4-магнитный экран.

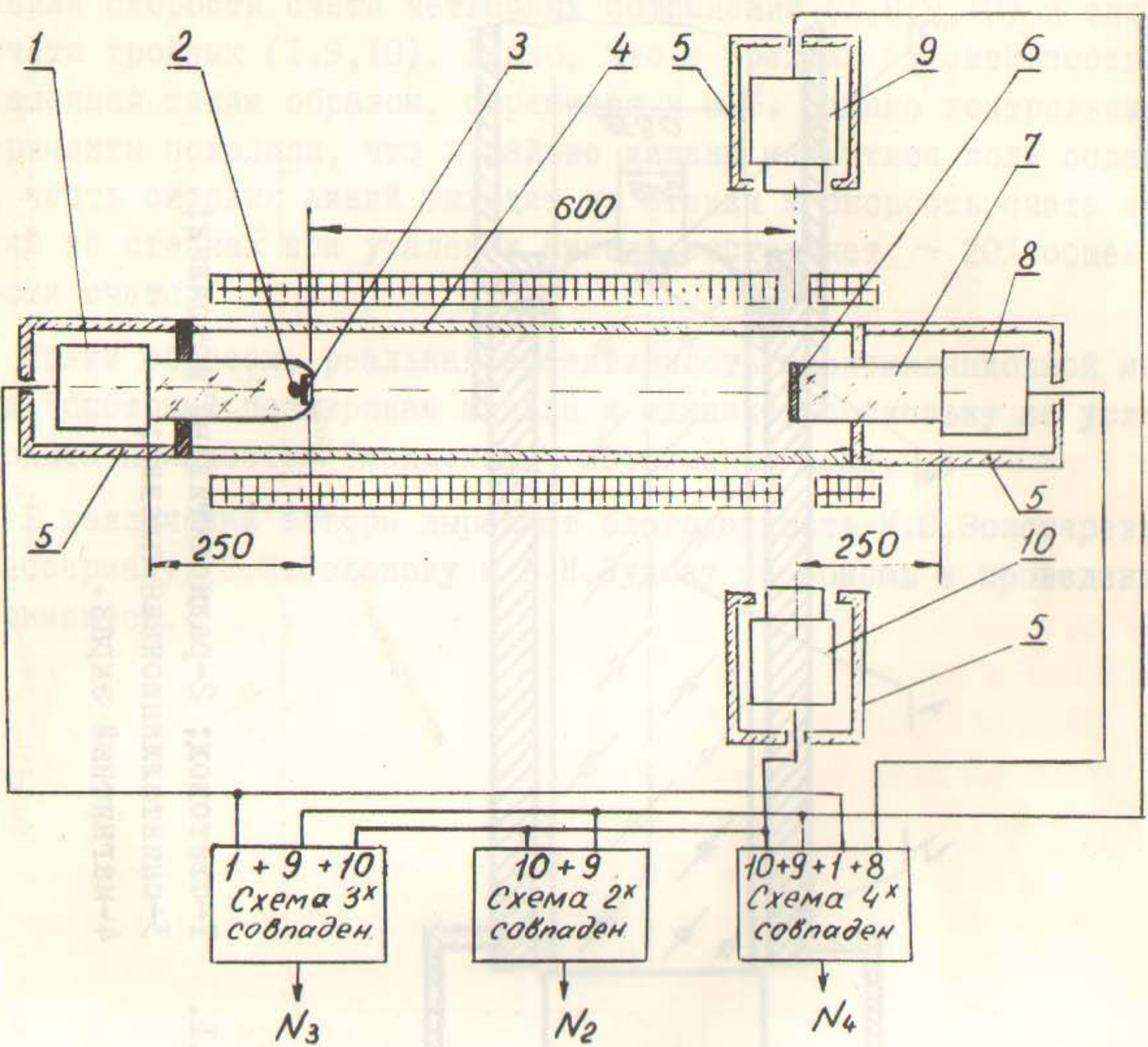


Рис.2. - Блок-схема установки.

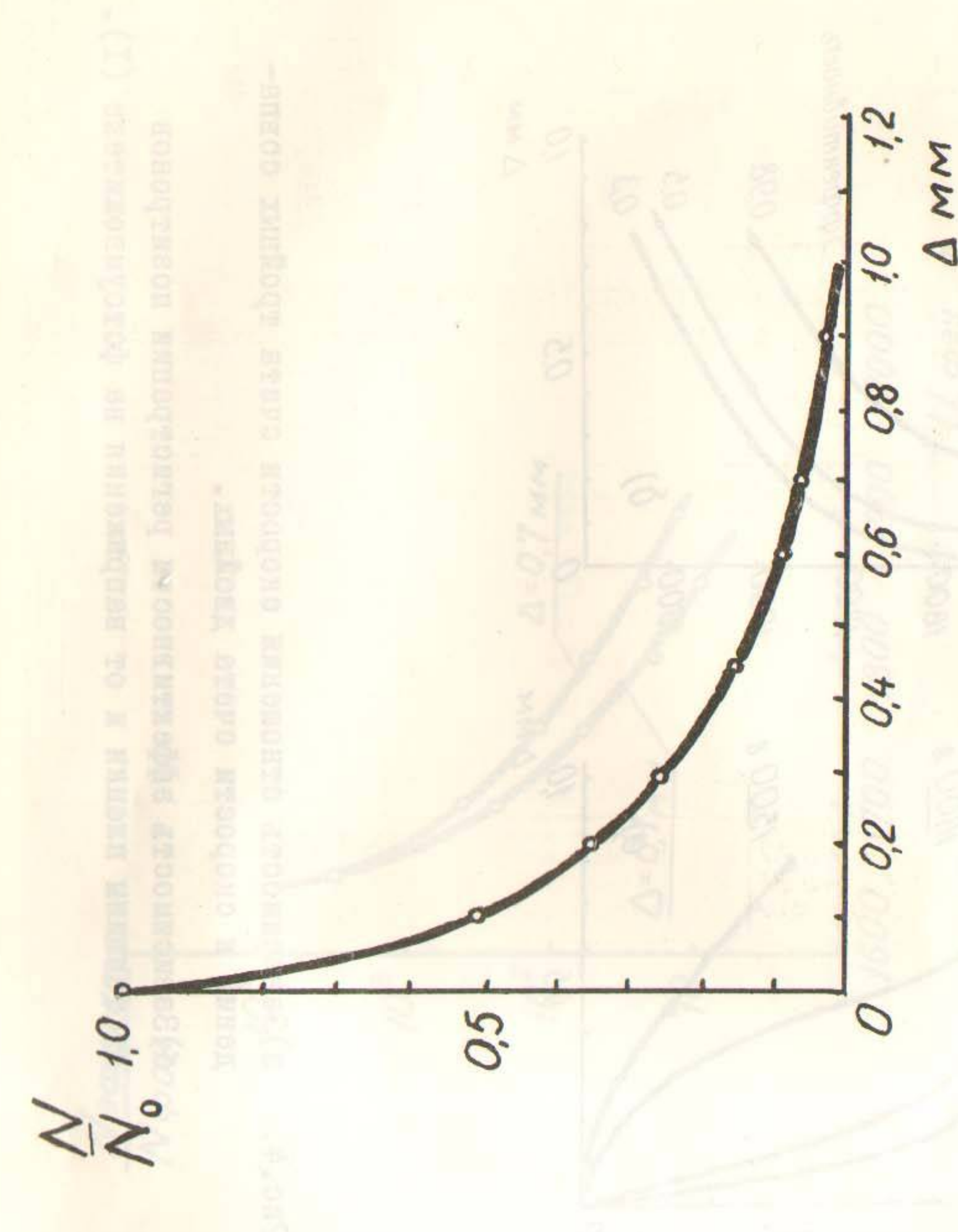


Рис.3. - Пропускающая способность сцинтилляционной пленки.

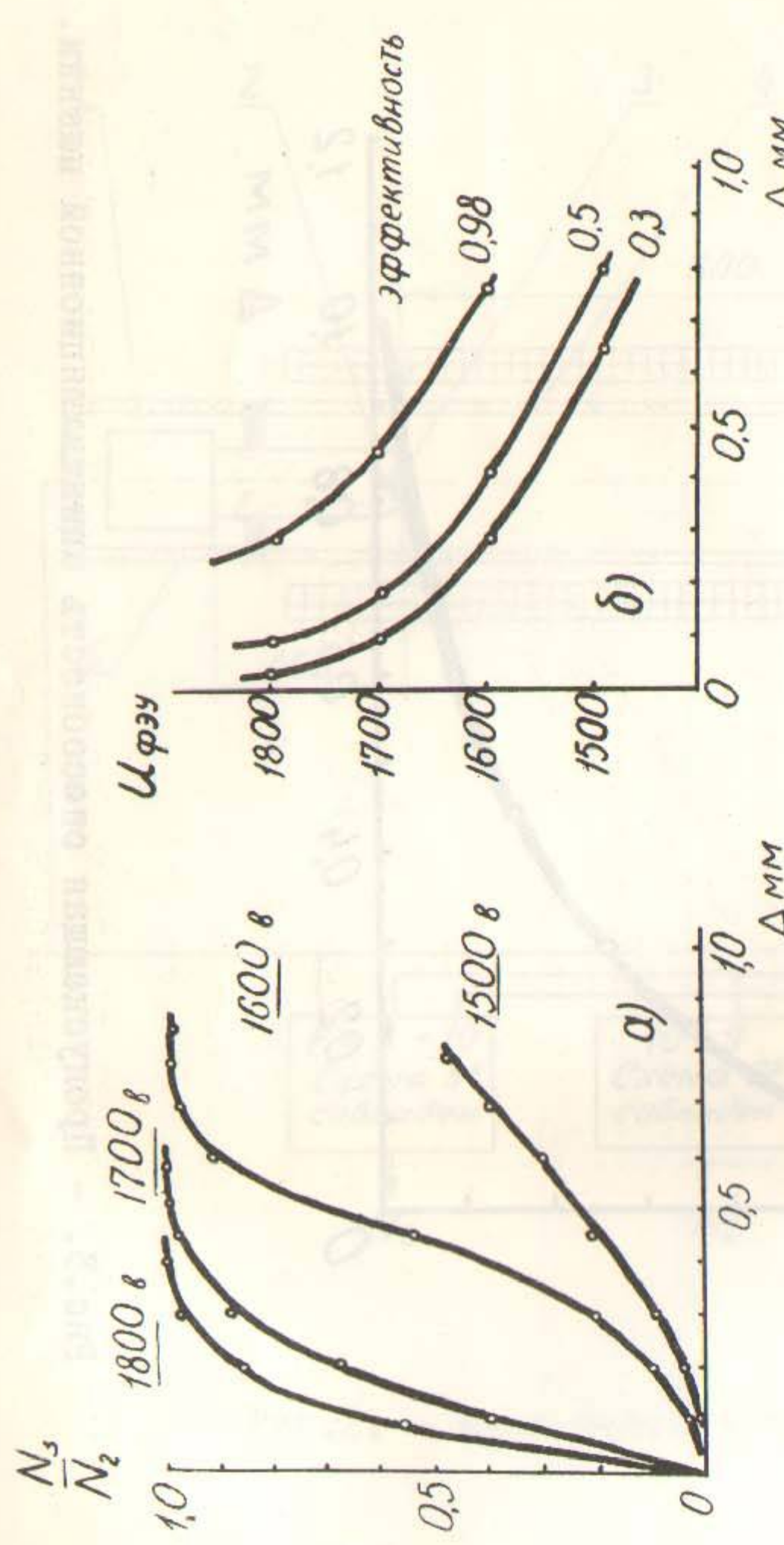


Рис.4. а) Зависимость отношения скорости счета тройных совпадений к скорости счета двойных.
б) Зависимость эффективности регистрации позитронов от толщины пленки и от напряжения на фотоумножителе (I).

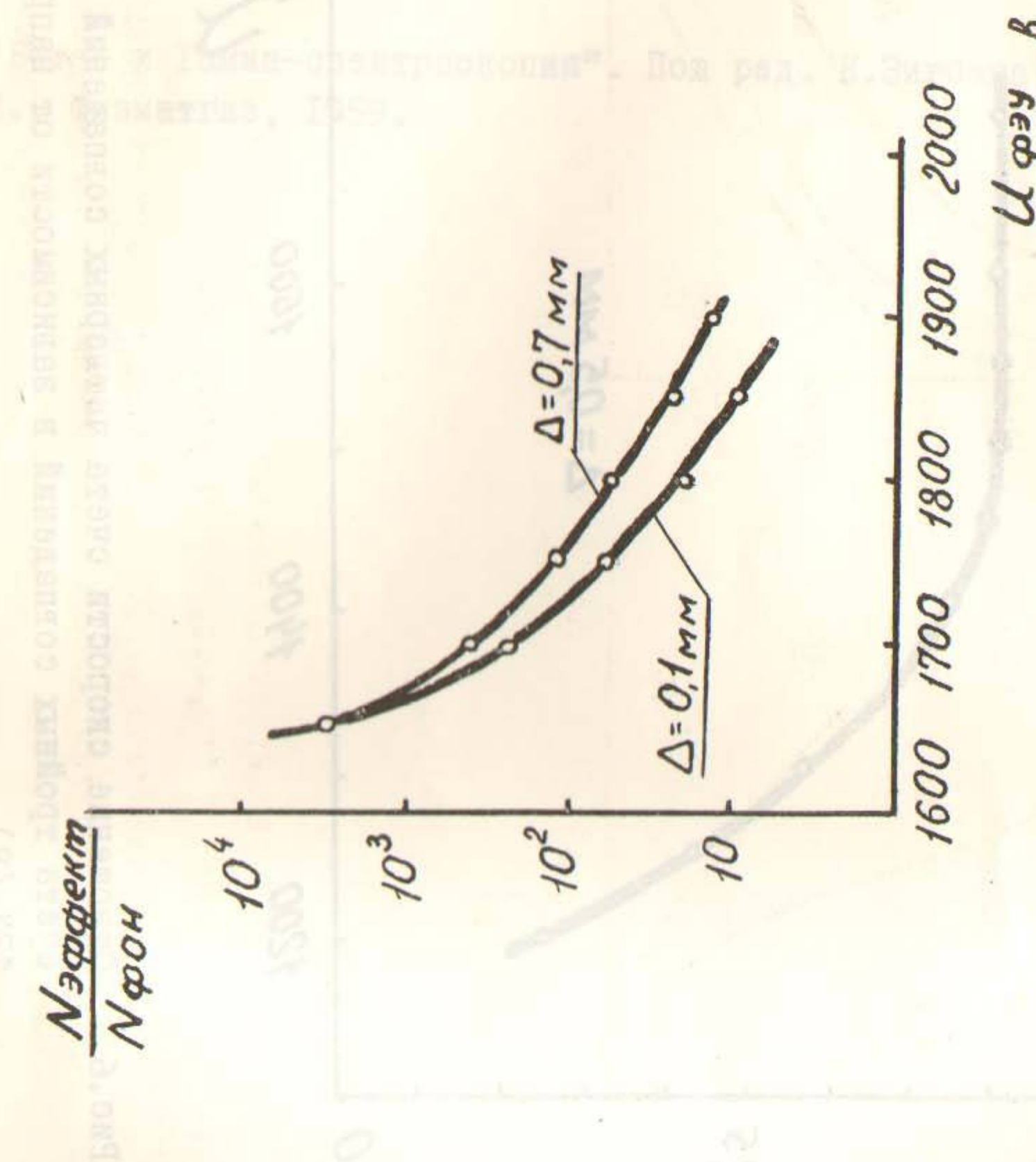


Рис.5. Зависимость отношения эффект/фон от толщины спаренного слоя и от напряжения ФЭУ (I).

Л и т е р а т у р а

1. J.W. Shearer, M. Deutsch *Phys. Rev.*, 76, 642 (1949).
2. M. Deutsch *Phys. Rev.*, 82, 455; 83, 866, (1951).
3. R.E. Bell, R.L. Graham *Phys. Rev.*, 90, 644, (1953).
4. "Бета- и Гамма-спектроскопия". Под ред. К. Зигбана. М., Физматгиз, 1959.

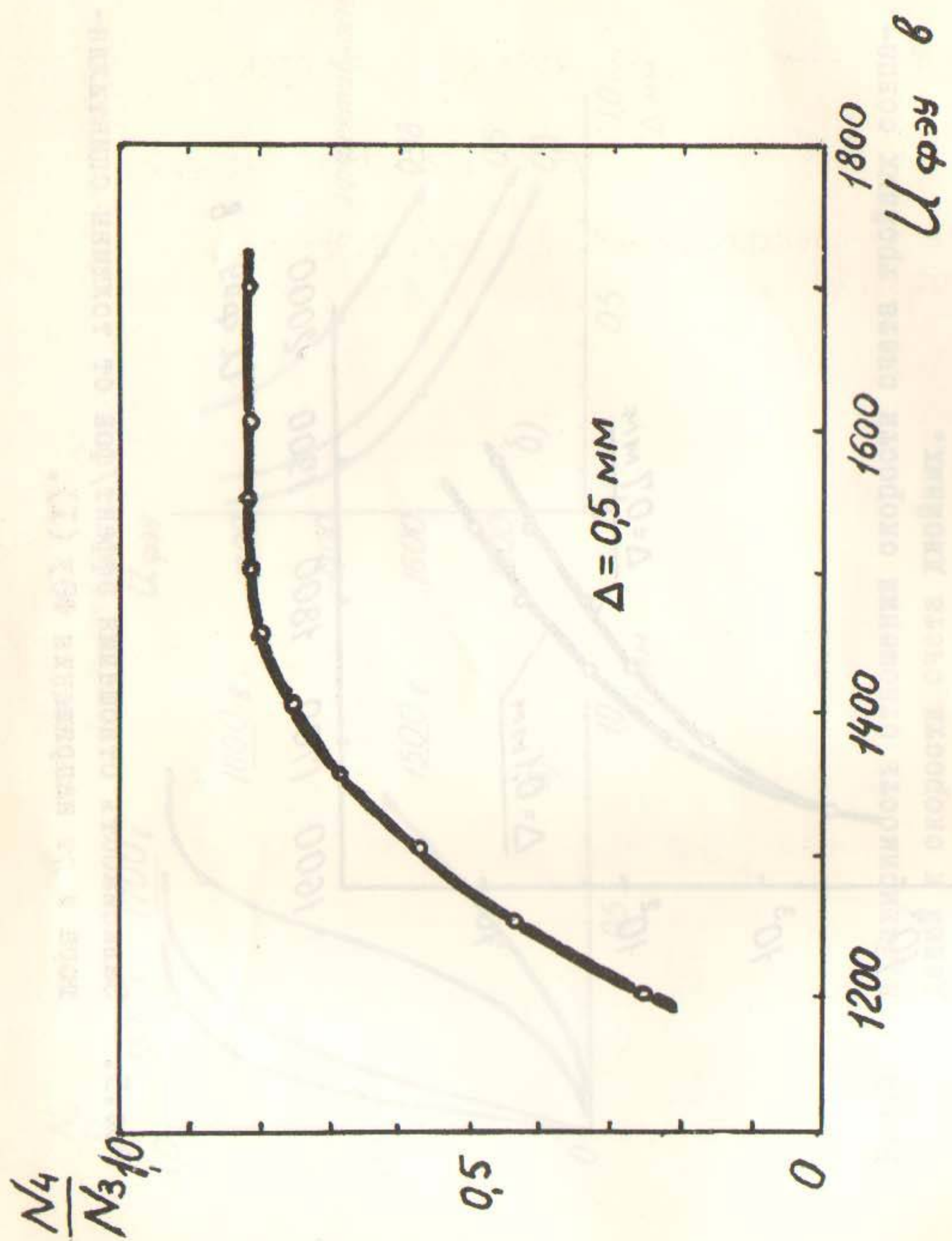


Рис.6. Отношение скорости счета четырех совпадений к скорости счета тройных совпадений в зависимости от напряжения на ФЭУ (8).

Ответственный за выпуск САННИКОВ Б.П.

Подписано к печати 30.1-1969 г., заказ № 273

0,4 печ.л., тираж 150 экз., бесплатно. вг

Отпечатано на ротапринте в ИЯФ СО АН СССР.